

СПИСОК ЛИТЕРАТУРЫ

- [1]. Абальянц С. Х. Устойчивые и переходные режимы в искусственных руслах.—Л.: Гидрометеоиздат, 1981.—210 с. [2]. Алиев Т. А. Влияние взвеси на гидравлическое сопротивление русловых потоков // Водные ресурсы.—1988.—№ 1.—С. 51—59. [3]. Бакимбетов Н. Б. О влиянии взвешенных наносов на гидравлические сопротивления // Гидротехническое строительство.—1982.—№ 1.—С. 29—31. [4]. Бакимбетов Н. Б. О влиянии наносов на гидравлические сопротивления русла // Гидротехническое строительство.—1981.—№ 12.—С. 40—42. [5]. Голово-чесов С. Н. Условие подобия больших земляных каналов // Науч. тр. Союзводо-проекта.—М., 1982.—С. 83—85. [6]. Грачев Н. Р. и др. Закономерности формирования криволинейных русел // Гидротехническое строительство.—1987.—№ 7.—С. 40—43. [7]. Железняков Г. В. Пропускная способность русел каналов и рек.—Л.: Гидрометеоиздат, 1981.—312 с. [8]. Зегджа А. П. Гидравлические потери на трение в каналах и трубопроводах.—М.; Л.: Госстройиздат, 1957.—200 с. [9]. Знаменская Н. С. Донные наносы и русловые процессы.—Л.: Гидрометеоиздат, 1976.—192 с. [10]. Знаменская Н. С. Динамика русловых потоков: Сборн. науч. тр.—Л.: ЛПИ, 1987.—С. 84—88. [11]. Труды V Всесоюзного гидрологического съезда.—Л., 1986.—Т. 10, кн. 2-я.—С. 348—349. [12]. Труды V Всесоюзного гидрологического съезда.—Л., 1986.—Т. 10, кн. 2-я.—С. 360—361.

Поступила 28 апреля 1992 г.

УДК 629.114.3

ОЦЕНКА НАПРЯЖЕНИИ-ДЕФОРМИРОВАННОГО СОСТОЯНИЯ НЕСУЩЕЙ СИСТЕМЫ ЛЕСОВОЗНОГО ТЯГАЧА ПРИ НЕГРУЗОВЫХ ПРОБЕГАХ

А. В. ЖУКОВ, В. В. ЯНУШКО

Белорусский технологический институт

В настоящее время 85 % лесовозных автопоездов оборудуются устройствами для погрузки и перевозки прицепов-роспусков на шасси тягача при негрузовых пробегах, что существенно улучшает показатели эффективности работы лесотранспорта [5]. Однако при этом увеличивается динамическая нагруженность отдельных элементов автопоезда и, как следствие, снижается эксплуатационная надежность несущей системы тягача и технологического оборудования [4].

Устранение указанных отрицательных последствий возможно при использовании дополнительных систем подпрессоривания в устройстве перевозки прицепа-роспуска на шасси тягача [3, 4]. Эффективность этой меры уже доказывалась нами в ряде работ [3, 4]. Ниже приведены не освещенные в литературе экспериментальные и расчетные данные об оценке напряженно-деформированного состояния несущей системы тягача при негрузовых пробегах, которые не только иллюстрируют возможности предлагаемой [3] системы подпрессоривания, но и имеют самостоятельное значение в теории лесовозного автопоезда.

В наших исследованиях была использована стержневая конечно-элементная модель. Согласно расчетной схеме [6] роспуск моделировали в виде пространственной стержневой конструкции. С учетом особенностей расположения его на шасси тягача определяли опорные точки.

При динамическом расчете задавали функцию воздействия от неровностей дороги. Реализации возмущающих функций соответствовали опытным участкам грунтовой и гравийной дорог.

Протяженность опытных участков дорог (длина реализаций случайного микрорельефа) находили с учетом получения состоятельных статистических оценок и минимальной частоты исследуемого процесса по методике [1].

Справедливость динамических расчетных моделей оценивали по соответствуанию расчетных и экспериментальных спектральных плотностей

D^2 процессов изменения напряжений в элементах несущей системы тягача. Статистики D^2 изменились от 13,4 до 25,9 при области принятия гипотезы $\chi^2_{n,d}$, равной 27,59, что позволяет сделать вывод об удовлетворительной сходимости результатов.

Напряженно-деформированное состояние несущей системы лесовозного тягача МАЗ-509А с погруженным роспуском ГКБ-9383 исследовали для двух вариантов автопоездов: с серийным технологическим оборудованием и с системой подпрессоривания, установленной в устройство перевозки роспуска. Скорости движения варьировались в диапазоне 30...50 км/ч.

Анализ расчетных данных показывает, что динамическая нагрузкенность элементов рамы тягача и технологического оборудования существенно зависит от скорости движения. При движении по гравийной дороге прослеживается общая закономерность изменения напряжений для лонжерона рамы как тягача, так и технологического оборудования. В диапазоне скоростей от 30 до 40 км/ч максимальные динамические напряжения возрастают, при дальнейшем увеличении скорости до 50 км/ч снижаются.

При моделировании движения по грунтовой дороге характер изменения максимальных напряжений иной. В диапазоне скоростей от 20 до 40 км/ч указанные параметры увеличиваются. Установка системы подпрессоривания в технологическом оборудовании тягача позволяет снизить их уровень. Так, в наиболее нагруженной зоне лонжерона рамы тягача с серийным технологическим оборудованием максимальные динамические напряжения достигают 76,4...82,8 МПа, при установке системы подпрессоривания 71,7...73,8 МПа.

В целом по длине лонжерона рамы тягача они снизились на 4,0...23,4 %, а технологического оборудования — на 10...49 %, за исключением зоны установки опорно-поворотного устройства коника. Анализ расчетных данных показал, что максимальные динамические напряжения

Элемент конструкции	Значения напряжений, МПа		
	σ_{ct}	σ_{Σ}	k_d
Лонжерон рамы тягача:			
зона установки второго кронштейна	25,8	<u>88,1</u> 76,2	<u>3,41</u> 2,95
средняя часть	24,2	<u>74,9</u> 72,3	<u>3,10</u> 2,98
зона изменения конфигурации под заднюю подвеску	44,9	<u>121,3</u> 118,5	<u>2,70</u> 2,64
зона переднего кронштейна рессоры задней подвески	56,9	<u>139,7</u> 128,6	<u>2,46</u> 2,26
Лонжерон рамы технологического оборудования:			
зона установки опорно-поворотного устройства коника:			
начало.	44,5	<u>108,6</u> 112,3	<u>2,44</u> 2,52
конец	58,4	<u>84,2</u> 83,5	<u>1,44</u> 1,42
зона установки удлинителя	39,9	<u>88,2</u> 72,3	<u>2,21</u> 1,81

Примечание. В числителе данные для серийного технологического оборудования; в знаменателе — для оборудования с системой подпрессоривания в устройстве перевозки роспуска.

имеют место при движении по грунтовой дороге со скоростью 40 км/ч. Полученные значения статических σ_{ct} и суммарных σ_y динамических напряжений, а также коэффициентов динамичности k_d приведены в таблице (средняя квадратичная высота неровности σ_n равна 0,052 м).

Анализ материалов дорожно-эксплуатационных испытаний показал, что с увеличением скорости движения возрастают средние квадратичные отклонения динамических напряжений в лонжероне рамы как тягача, так и технологического оборудования.

Характер изменения стандартов динамических напряжений в несущей системе тягача в среднем одинаков для гравийной и грунтовой дорог, однако уровень нагруженности значительно выше для грунтовой дороги. Так, в наиболее нагруженных зонах рамы тягача стандарты динамических напряжений при движении по грунтовой дороге со скоростью 40 км/ч на 35...41 % больше, чем по гравийной со скоростью 50 км/ч.

В этих условиях напряжения в раме технологического оборудования выше на 50...65 %. Нагруженность несущей конструкции тягача с системой подпрессоривания транспортируемого роспуска ниже, однако в зоне установки опорно-поворотного устройства коника средние квадратичные отклонения динамических напряжений в диапазоне скоростей 30...40 км/ч несколько больше, чем для автопоезда с серийным оборудованием.

На рис. 1 представлено распределение стандартов динамических напряжений по длине лонжерона рамы тягача в зависимости от скорости движения по гравийной дороге. Как видно из рисунка, во всем диапазоне скоростей лонжерон по длине нагружен неравномерно. Выделены три наиболее нагруженные зоны: место подвески передней оси (датчики № 2, 3), середина лонжерона (датчики № 4, 5) и зона переднего кронштейна рессоры задней подвески (датчик № 6). В зоне установки датчика № 2 зафиксирован резкий рост стандартов динамических на-

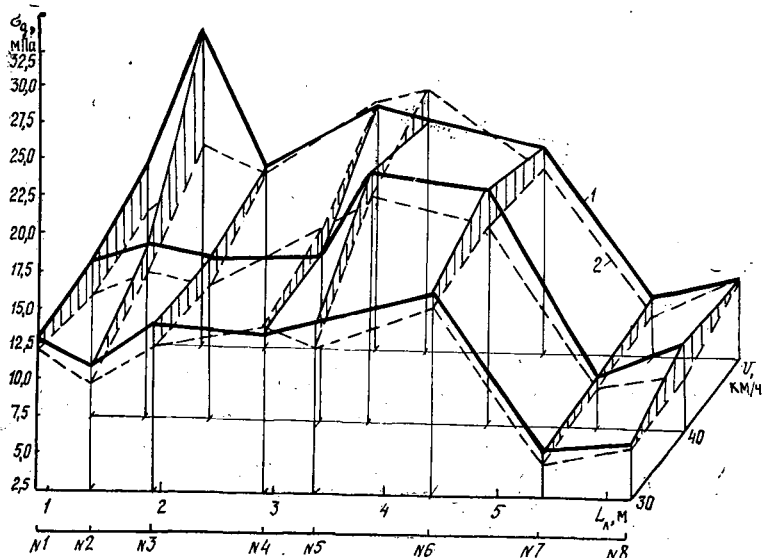
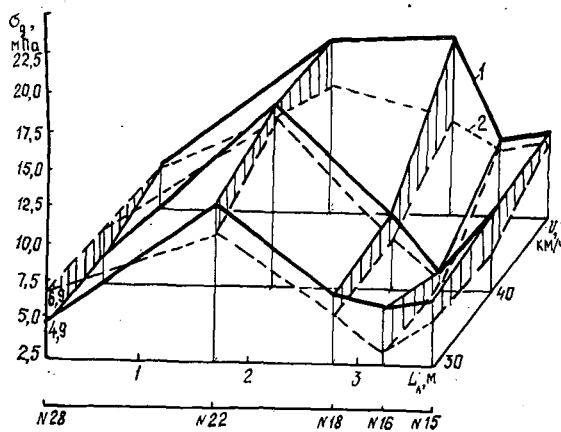
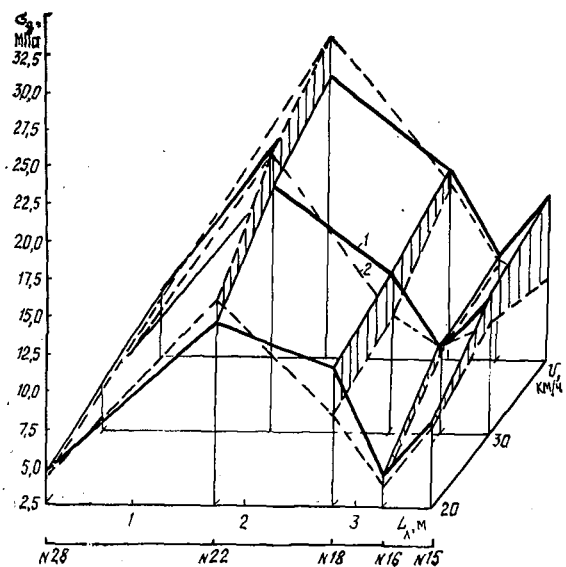


Рис. 1. Распределение стандартов динамических напряжений σ_d по длине лонжерона L_d рамы тягача в зависимости от скорости движения v по гравийной дороге ($\sigma_n = 0,035$ м) для тягача с серийным технологическим оборудованием (1) и с системой подпрессоривания в оборудовании (2). На линии ниже графика здесь и далее показаны места установки датчиков

прожений σ_{d2} . При скорости 30 км/ч $\sigma_{d2} = 10,6$ МПа, при 50 км/ч $\sigma_{d2} = 24,1$ МПа (в 2,3 раза больше). В зоне установки датчиков № 5, 6 стандарты динамических напряжений максимальны при скорости 40 км/ч. В случае установки системы подпрессоривания характер распределения стандартов напряжений сохраняется, но изменяется по длине лонжерона. Так, в диапазоне скоростей 40...50 км/ч характерно уже наличие двух зон наибольшего нагружения (датчики № 4, 5 и



a



б

Рис. 2. Распределение стандартов динамических напряжений σ_d по длине лонжерона L_l рамы технологического оборудования в зависимости от скорости движения; а — гравийная дорога, $\sigma_n = 0,035$ м; б — грунтовая дорога, $\sigma_n = 0,052$ м; 1 — тягач с серийным технологическим оборудованием; 2 — тягач с системой подпрессоривания в устройстве перевозки роспуска

№ 2). Распределение напряжений по длине лонжерона становится более равномерным. Установка системы подпрессоривания позволяет снизить напряжения в зонах датчиков № 1 на 3...28, № 2 на 7...48, № 6 на 6...11 %. В зоне установки датчика № 5 при скорости 50 км/ч σ_{25} возросло на 11,9 %.

При движении по грунтовой дороге характер распределения напряжений по длине лонжерона существенно изменяется. Для автопоезда с серийным устройством перевозки роспуска в лонжероне рамы тягача зафиксированы две наиболее нагруженные зоны: места установки датчиков № 3 и 6. С увеличением скорости движения максимум напряжений смещается из зоны датчика № 6 в зону датчика № 5. Установка системы подпрессоривания значительно влияет на характер распределения динамических напряжений. Так, во всем диапазоне скоростей происходит более равномерное нагружение лонжерона и остается одна наиболее нагруженная зона (датчик № 6). При этом в зоне датчика № 3 стандарты динамических напряжений снижаются на 15...27, датчика № 5 — на 5...16 %.

Возрастание динамических напряжений при увеличении скорости движения по дороге с гравийным покрытием отмечено в лонжероне рамы технологического оборудования (рис. 2, а). При этом изменяется и характер распределения средних квадратичных отклонений напряжений по длине лонжерона. Так, в диапазоне скоростей 30...40 км/ч максимальные динамические напряжения зафиксированы в зоне установки датчика № 22. При дальнейшем увеличении скорости их максимум смещается в зону датчика № 18 и составляет 14,6 МПа. Установка системы подпрессоривания обеспечивает снижение общего уровня динамической нагруженности рамы технологического оборудования и более равномерное нагружение лонжерона. Стандарты динамических напряжений в зоне установки датчика № 22 уменьшаются на 10...30, а № 18 — на 27...64 %.

При движении лесовозного автопоезда по опытному участку грунтовой дороги со скоростями 20...40 км/ч характерно наличие двух зон максимальных динамических напряжений: мест установки датчиков № 22 и 15 (рис. 2, б). Общий уровень нагруженности рамы технологического оборудования в 1,20—1,65 раза выше, чем для гравийной дороги. Установка системы подпрессоривания вызывает снижение динамической нагруженности в зоне установки датчика № 15 на 4...45, № 18 — на 4...40 %. Однако при этом в зоне установки датчика № 22 максимум стандартов динамических напряжений возрастает на 6...9 %.

Таким образом, многофакторный анализ данных исследований показал, что рациональные значения жесткости и коэффициента сопротивления упруго-демпфирующих элементов системы подпрессоривания соответственно равны 300 кН/м и 35 кН · с/м. При этом в случае движения по гравийной дороге общая вибронагруженность тягача снижается на 9...18, по грунтовой — на 6...14 %. С учетом полученных результатов, а также данных работы [2] установлен рекомендуемый скоростной режим движения автопоездов с системой подпрессоривания устройства перевозки при негрузовом пробеге: 40...50 км/ч для гравийной и 35...40 км/ч для грунтовой дорог.

В ряде элементов конструкции зафиксированы незначительные напряжения. Замена геометрических характеристик сечений этих элементов более рациональными позволяет снизить металлоемкость рамы технологического оборудования на 3,0...4,5 %.

По данным теоретических исследований, на напряженно-деформированное состояние несущей системы существенно влияет консольный вынос роспуска по отношению к заднему мосту тягача. Уменьшение расстояния от центра балансиров роспуска до заднего моста тягача от

1,1 до 0,2 м позволяет снизить уровень напряжений в лонжеронах рам тягача и технологического оборудования на 17...25 %.

СПИСОК ЛИТЕРАТУРЫ

- [1]. Динамика системы дорога — шина — автомобиль — водитель / А. А. Хачатуров, В. Л. Афанасьев, В. С. Васильчиков и др.— М.: Машиностроение, 1976.— 535 с.
[2]. Жуков А. В., Леонович И. И. Колебания лесотранспортных систем.— Минск: БГУ, 1973.— 240 с. [3]. Жуков А. В., Янушко В. В. Оценка эффективности применения системы подпрессоривания прицепа-роспуска при перевозке его на шасси тягача // Лесн. журн.— 1986.— № 4.— С. 30—34.— (Изв. высш. учеб. заведений). [4]. Жуков А. В., Янушко В. В., Городовский А. Р. Оценка нагруженности несущей системы лесовозного тягача, оборудованного устройством подпрессоривания перевозимого роспуска // Технология и оборудование заготовки и переработки древесины.— Минск, 1990.— С. 3—7. [5]. Немцов В. П. Теоретические и экспериментальные основы совершенствования лесовозных автопоездов: Автореф. дис. ... д-ра техн. наук.— М., 1989.— 36 с. [6]. Янушко В. В. Снижение вибронагруженности лесовозных автопоездов при негрузовых пробегах на основе совершенствования устройств перевозки роспусков: Автореф. дис. . . , канд. техн. наук.— Мин., 1991.— 21 с.

Поступила 21 января 1993 г.